

پیش‌بینی ضریب پخش آلودگی در رودخانه‌ها با استفاده از مدل ترکیبی شبکه عصبی و الگوریتم ژنتیک

عباس پارسائی^{*}, ^۱امیر حمزة حقی آبی^۲ و امیر مردای نژاد^۳

(۱) دانشجوی دکتری، گروه مهندسی آب دانشگاه لرستان، خرم آباد، ایران.

(۲) دانشیار، گروه مهندسی آب، دانشگاه لرستان، خرم آباد، ایران

(۳) دانشجوی دکتری، دانشگاه لرستان، خرم آباد، ایران.

* نویسنده مسئول مکاتبات: Abbas_Parsaie@yahoo.com

تاریخ پذیرش: ۹۱/۹/۵

تاریخ دریافت: ۹۱/۶/۲۸

چکیده

فرایند پخشیدگی آلودگی در رودخانه‌ها بسیار پیچیده است. مدیریت صحیح کیفیت آب رودخانه نیازمند داشتن اطلاع دقیقی از ضریب پخشیدگی آلودگی است. توسعه مدل‌های تجارتی جهت شبیه سازی عددی انتقال آلودگی در مجاری روباز مستلزم محاسبه ضریب پخشیدگی می‌باشد. هرچقدر دقت پیش‌بینی و محاسبه این پارامتر بیشتر باشد دقت و صحت مدل‌های مدل سازی نیز بیشتر می‌شود و درنهایت برنامه ریزی و تصمیم‌گیری‌های مدیریتی مناسب، با دقت و اطمینان بیشتری انجام خواهد شد. روش‌های فراوانی برای محاسبه ضریب پخشیدگی وجود دارد از جمله روش‌های تجربی، تحلیلی و ریاضی. روش‌های تجربی به علت خطای زیاد، مورد توجه قرار نگرفته‌اند. روش‌های تحلیلی و ریاضی با منظور کردن فرضیات ساده سازی در مراحل مدل سازی، نیز علی رقم پیچیدگی محاسبات، نتایج قابل قبولی را ارائه نداده‌اند. بنابراین ارزیابی روابط تجربی به توسعه مدل شبکه عصبی چند لایه پرداخته شده است. معادلات تجربی در بهترین حالت دارای دقتی برابر با $R^2 = 0.77$ که مربوط به فرمول ارائه شده توسط کاشفی پور و توکلی زاده است. برای تخمین دقیق تر ضریب پخشیدگی مدل شبکه عصبی چند لایه توسعه داده شده است. دقت مدل شبکه عصبی در مراحل آموزش و آزمایش به ترتیب برابر با $R^2 = 0.90$, $R^2 = 0.80$ بوده است. درادامه برای افزایش دقت و کارایی مدل شبکه عصبی، بهینه سازی ضرایب وزنی مورد نیاز شبکه عصبی با استفاده از الگوریتم ژنتیک انجام شده است که عملکرد آن در مراحل آموزش و آزمایش به ترتیب برابر با $R^2 = 0.98$, $R^2 = 0.95$ می‌باشد. نتیجه نهایی نشان می‌دهد که می‌توان دقت مدل شبکه عصبی توسعه داده شده را بدون افزایش تعداد سلول و یا تعداد لایه‌ها، تا حدود ۱۹ درصد افزایش داد.

واژه‌های کلیدی: ضریب پخش آلودگی، شبکه عصبی، الگوریتم ژنتیک، انتقال آلودگی.

مقدمه

آلودگی و کاهش کیفیت آب‌های سطحی از مهم‌ترین مسائل و مشکلات موجود در محیط زیست می‌باشد به همین منظور مطالعه بر روی کیفیت آب‌های سطحی از اهمیت ویژه‌ای برخوردار است. این موضوع زمانی اهمیت بیشتری پیدا می‌کند که قسمت عمده‌ی از آب آشامیدنی انسان‌ها، آب لازم برای صنایع و کشاورزی از رودخانه‌ها تأمین می‌شود و از طرفی متأسفانه رودخانه‌ها مکانی برای تخلیه فاضلاب‌ها و پساب‌ها شده است (ایزدی نیا و عابدی کوپایی، ۱۳۸۹). اگر مکانیسم انتشار آلودگی در رودخانه‌ها با ژئومتری‌های مختلف مشخص شده باشد می‌توان برای کاهش اثرات آلودگی بر سلامت عموم جامعه انسان‌ها با طرح مسئله اختلاط آبهای و تقویت قدرت خود پالاییندگی رودخانه‌ها برنامه ریزی نمود (ریاحی مدوار و ایوب زاده، ۱۳۸۷). هنگامی که یک منبع آلودگی به داخل آب رها می‌شود به علت حرکت مولکولی، تلاطم و غیر یکنواختی سرعت در سطح مقطع جریان سریعاً در آب پخش شده و همراه با جریان آب به پایین دست انتقال می‌یابد. مکانیسم انتشار و حرکت آلاینده‌ها در آب بخش مهمی از داشتن محیط زیست است که تاکنون پژوهش‌های زیادی در موضوع‌های مرتبط با آن صورت گرفته است (محمدیان شوستری، ۱۳۸۹). ضریب پخشیدگی آلودگی در رودخانه‌ها پارامتری بسیار پیچیده، متفیر و حساس می‌باشد و با اندک تغییری در فرم بستر، تغیر الگوی جریان مانند وجود (جریان‌های ثانویه، ناحیه ماندابی، توزیع ناهمگون) تغییر می‌نماید (Seo and Bake; ۲۰۰۴.., Cheong, ۱۹۹۸.., Deng, et al. ۲۰۰۱) با استفاده از یک کانال مستطیلی و رها سازی ماده دیباب به صورت پیوسته و پایدار از یک منع نقطه‌ای ثابت اقدام به اندازه گیری غلظت در مقاطع مختلف نمودند در این حالت ضریب اختلاط عرضی با محاسبه غلظت در هر مقطع محاسبه شد. شن و همکاران (۲۰۱۰) به محاسبه مستقیم ضریب پخشیدگی با استفاده از روش (ADCP) پرداختند ایشان همچنین در تحقیقات خود تاثیر ناحیه ماندابی نگه داشت موقت را در ضریب پخشیدگی بررسی نمودند و درنهایت نتیجه گرفتند که استفاده از روش ADCP می‌تواند به عنوان روش بسیار مناسبی جهت محاسبه ضریب پخشیدگی استفاده شده و دقت سایر روابط تجربی با این روش سنجیده شود. چونونگ و همکاران (۲۰۰۱) به مطالعه مکانیسم انتقال شوری در رودخانه‌ها پرداختند مطالعات ایشان بر اساس پیگیری و مطالعه بر روی تغییرات پروفیل غلظت انجام شد ایشان تحقیقات خود را در رودخانه شینگوبی انجام دادند ایشان همچنین در تحقیقات خود به تاثیر مهم ناحیه ماندابی و همچنین معرفی عوامل جدیدی در تعیین تاثیر ناحیه ماندابی در مکانیسم انتقال شوری اشاره نمودند. آتکینسون و همکاران (۲۰۰۰) به مطالعه بر روی ضریب پخشیدگی رودخانه سورن انگلستان با استفاده از تجزیه و تحلیل پروفیل غلظت مشاهداتی پرداختند و پیشنهاد دادند که مطالعات و اندازه گیری آنها می‌تواند مبنای خوبی برای ارزیابی روابط تجربی و ریاضی در این رابطه باشد. معادله حاکم بر روی انتشار آلودگی در رودخانه‌ها معادله انتقال پخش می‌باشد اگر به فرم این معادله (معادله یک) توجه شود متوجه اهمیت ضریب پخش خواهیم شد زیرا تخمین دقیق این ضریب در محاسبه مقدار و پیش‌بینی پروفیل غلظت بسیار اهمیت دارد هم چنین دقت در تخمین این پارامتر به افزایش دقت مدل‌های عددی که از حل عددی معادله انتقال پخش توسعه داده می‌شود، می‌انجامد (پارسائی و همکاران، ۱۳۹۱). پور مقدم و کوچک زاده (۱۳۸۹)، با استفاده از مدل آزمایشگاه، اثر عوامل مختلف بر ضرایب انتشار و پخشیدگی مواد محلول زوال پذیر و زوال ناپذیر را بررسی نمودند. ایشان مطالعات آزمایشگاهی خود را در یک مقطع مرکب انجام داده و تاثیر مقاطع مرکب را بر مقدار ضریب

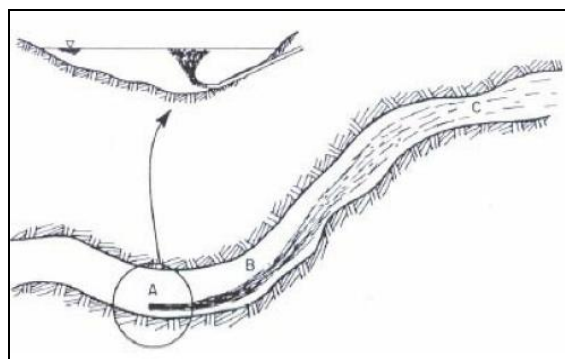
پخشیدگی نیز بررسی نمودند. پور مقدم و کوچک زاده (1389)، در تحقیق دیگری، با استفاده از محاسبه طول اختلاط کامل روش جدیدی برای محاسبه ضریب اختلاط عرضی ارائه دادند. ریاحی و ایوب زاده (2009) با استفاده از ترکیب شبکه عصبی و منطق فازی ضریب آلودگی طولی را تخمین زند اطلاع از مقدار دقیق ضریب پخش در رودخانه‌ها برای طراحی آبگیر و مدیریت بهتر کیفیت آب رودخانه‌ها و همچنین استفاده از طرح اختلاط آب برای بهبود کیفیت آب رودخانه بسیار مهم می‌باشد. ضریب پخش به وسیله روابط تئوری و مطالعات آزمایشگاهی و صحرابی قابل اندازه گیری می‌باشد. توپارک و سیگزیگولو (2008) به ارائه مدل نرو فازی برای تخمین ضریب پخش پرداخته و در نهایت مدل خود را با دادهای صحرابی کالیبره و اعتبار سنجی نمود. آنها همچنین دقت مدل خود را با روابط تجربی که توسط سایر محققان نظیر کاشفی پور، چونگ، فیشر و کاسیس ارائه شده است مقایسه نموده و در نهایت نشان دادند که دقت و کارابی مدل نرو فازی که توسط ایشان ارائه شده است از همه روابط تجربی ذکر شده بالاتر می‌باشد. تیفور و همکاران (2005)، عظمت... و همکاران (2011)، اعتماد شهیدی و تقی پور (2012) و راجیو و دوتا (2009) به ارائه مدل‌های ANFIS, MLP, SVM, GP برای محاسبه و تخمین ضریب پخش آلودگی پرداختند ایشان مدل‌های خود را با دادهای مشاهداتی واسنجی و کالیبره نمودند و در نهایت دقت بالای این مدل‌ها را ثابت نمودند. با توجه به سابقه تحقیق ارائه شده نتیجه می‌شود که محاسبه ضریب پخشیدگی از مطالعات آزمایشگاهی و صحرابی شروع شده که منتج به پیشنهاد معادلات تجربی شده است. از طرفی در بعضی از موارد عدم دقت مناسب این معادلات گزارش شده است. این کمبود دقت، به این دلیل است که محققین در پروسه مدل‌سازی از عواملی که به طور غیر مستقیم در پدیده انتشار آلودگی تأثیر دارند و در معادلات قابل بیان نیستند صرفه نظر می‌نمایند. هزینه زیاد مطالعات صحرابی و دردسترس نبودن امکانات اندازه گیری و آزمایشگاهی و از طرفی دقت بسیار مناسب مدل‌های هوش مصنوعی محققان را به توسعه و استفاده از این مدل‌ها وا داشته است. اما خود این مدل‌ها نیز نیاز بهینه شدن و کامل تر شدن دارند به همین منظور در این مقاله از شبکه عصبی چند لایه به عنوان رهیافتی همه گیر برای پیش‌بینی ضریب پخشیدگی استفاده شده است و برای افزایش دقت و کارابی این مدل، آموزش آن از طریق الگوریتم ژنتیک صورت گرفته است.

مواد و روش‌ها

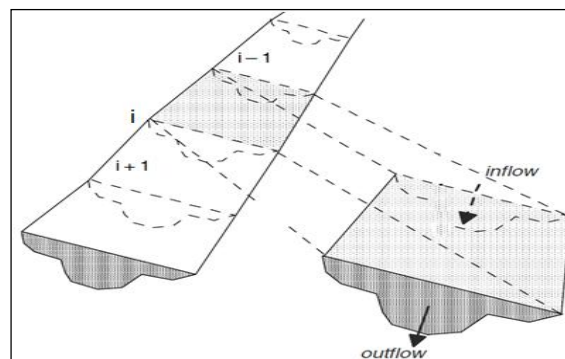
در این تحقیق ابتدا اشاره ای کوتاه به نحوه استخراج معادله حاکم بر انتشار آلودگی در رودخانه می‌شود. در ادامه با استفاده از روش آنالیز ابعادی به استخراج پارامترهای بی بعد موثر در محاسبه این ضریب پرداخته شده است. برای تخمین دقیق این ضریب شبکه‌های عصبی چندلایه توسعه داده شده است. برای توسعه این مدل داده‌هایی که توسط محققین در رابطه با اندازه گیری ضریب پخش آلودگی در رودخانه‌ها در مجلات معتبر منتشر شده است جمع آوری گردیده است. تعداد این داده‌ها حدود 150 عدد می‌باشد که محدوده تغییرات آنها در جدول (2) آورده شده است. لازم به ذکر است که ارزیابی روابط تجربی با استفاده از همان داده‌ها صورت گرفته است. برای افزایش قابلیت اطمینان و همچنین افزایش دقت مدل شبکه عصبی، بهینه سازی ضرایب و ثابت‌های مورد استفاده در ساختار این شبکه از الگوریتم ژنتیک استفاده شده است. تمام مراحل توسعه مدل اعم از آموزش، صحت سنجی و هم چنین بهینه سازی ضرایب و ثابت‌های مورد استفاده در ساختار شبکه عصبی با استفاده از الگوریتم ژنتیک، در محیط نرم افزار MATLAB انجام شده است.

معادله انتقال و پخش

هنگامی که یک منبع آلودگی به داخل آب رها می‌شود به علت حرکت مولکولی، تلاطم و غیر یکنواختی سرعت در سطح مقطع جریان، سریعاً در آب پخش و همراه با جریان آب جابجا می‌شود (شکل (1)). برای استخراج معادله حکم بر انتشار آلودگی در آبراهه‌ها المانی از رودخانه را مانند شکل (2) در نظر گرفته و مقدار جرم ورودی و خروجی را در این المان را طبق قانون بقای جرم محاسبه می‌شود. با کمک از قانون اول و دوم فیزیک معادله انتقال و پخش به صورت (معادله (1)) بیان می‌شود.



شکل 1: نمایی شماتیک از انتشار آلودگی در رودخانه‌ها



شکل 2: المانی از رودخانه برای استخراج معادله حرکت

$$\frac{\partial C}{\partial t} + u \frac{\partial C}{\partial x} = D_L \frac{\partial^2 C}{\partial x^2} \quad (1)$$

در این معادله C : غلظت آلاینده در طول رودخانه، u : سرعت متوسط جریان رودخانه، D_L : ضریب پخشیدگی، t : مدت زمان سپری شده بعد از تزریق آلودگی و x : فاصله از نقطه تزریق آلودگی می‌باشد. در معادله حرکت ضریب پخشیدگی یکی از مهمترین پارامترها در مدل سازی کامپیوتری انتشار آلودگی در آبراهه‌ها می‌باشد. مهمترین عواملی که در پدیده پخشیدگی مؤثر به سه دسته قابل تقسیم هستند.

۱- مشخصات سیال، ۲- مشخصات هیدرولیکی جریان و ۳- در نهایت ژئومتری رودخانه یا شکل سطح مقطع و مسیر رودخانه، از مشخصات سیال می‌توان به چگالی سیال، ویسکوزیته، از مشخصات هیدرولیکی جریان می‌توان به سرعت متوسط در رودخانه، سرعت برشی و پهنهای سطح مقطع و عمق جریان را نام برد و برای مشخصات هندسی علاوه بر شکل سطح مقطع به فرم بستر و شکل مسیر جریان مانند سینوسی بودن مسیر رودخانه اشاره کرد که می‌توان ارتباط عوامل هندسی و هیدرولیکی مؤثر در فرایند پخشیدگی را با رابطه (2) نشان داد.

$$D_L = f_1(\rho, \mu, u, u_*, h, w, s_f, s_n) \quad (2)$$

در این رابطه D_L : ضریب پخشیدگی، ρ : چگالی سیال، μ : ویسکوزیته سیال، s_f : فاکتور فرم بستر و u_* : سرعت برشی، w : عرض سطح مقطع جریان می‌باشد. با استفاده از آنالیز ابعادی می‌توان به رابطه (3) برای پیش بینی ضریب پخش رسید.

$$\frac{D_L}{hu_*} = f_2\left(\rho \frac{uh}{\mu}, \frac{u}{u_*}, \frac{w}{h}, s_f, s_n\right) \quad (3)$$

همان‌طور که مشخص است $\frac{D_L}{hu_*}$ پارامتر بی بعد پخشیدگی و پارامتر $\rho \frac{uh}{\mu}$ معروف عدد رینولدز، $\frac{w}{h}$: نسبت عرض جریان به عمق و $\frac{u}{u_*}$: مربوط به ترم مقاومت جریان می‌باشد. در این رابطه s_f و s_n پارامترهای مربوط به شبیه آبراهه، فرم بستر و مقدار سینوسی (مثاندر) بودن مسیر رودخانه می‌باشند که به آسانی قابل اندازه گیری نمی‌باشد. بنابراین از آوردن تأثیر مستقیم آن‌ها صرفه نظر کرده و تأثیر آن‌ها را به طور غیر مستقیم در ترم مقاومت جریان دیده می‌شود. از ترم مربوط به عددی رینولدز هم به خاطر آشفته بودن و زیر بودن جریان صرفه نظر می‌گردد و در نهایت فرم نهایی معادله (3) به صورت زیر در خواهد آمد (سُو و همکاران، ۱۹۹۸).

$$\frac{D_L}{hu_*} = f_2\left(\frac{u}{u_*}, \frac{w}{h}\right) \quad (4)$$

در جدول (1) تعدادی از روابط تجربی که برای محاسبه ضریب پخش ارائه شده اند گردآوری شده است.

جدول ۱: روابط تجربی پیشنهاد شده برای محاسبه ضریب پخشیدگی

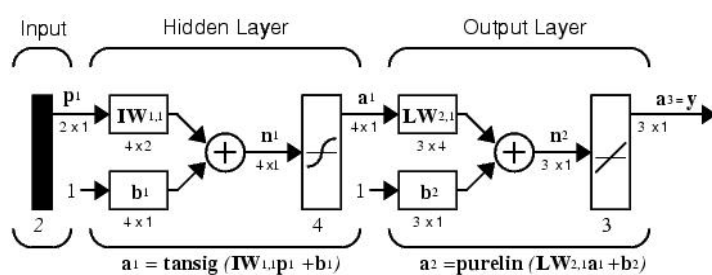
ردیف	نام نویسنده	معادله
1	الدر (1959)	$D_L = 5.93hu_*$
2	مک کویوی و کیفر (1979)	$D_L = 0.58 \left(\frac{h}{u_*} \right)^2 uw$
3	فیشر (1976)	$D_L = 0.011 \frac{u^2 w^2}{hu_*}$
4	لیو و چن (1980)	$D_L = 0.55 \frac{wu_*}{h^2}$
5	لیو (1980)	$D_L = 0.18 \left(\frac{u}{u_*} \right)^{0.5} \left(\frac{w}{h} \right)^2 hu_*$
6	ایوسا و اتاوا (1991)	$D_L = 2 \left(\frac{w}{h} \right)^{1.5} hu_*$
7	سئو و چانگ (1998)	$D_L = 5.92 \left(\frac{u}{u_*} \right)^{1.43} \left(\frac{w}{h} \right)^{0.62} hu_*$
8	کاسیس و همکاران (1998)	$D_L = 0.6 \left(\frac{w}{h} \right)^2 hu_*$
9	لی و هانگ (1998)	$D_L = 5.92 \left(\frac{u}{u_*} \right)^{1.2} \left(\frac{w}{h} \right)^{1.3} hu_*$
10	راجیو و دوتا (2009)	$D_L = 2 \left(\frac{u}{u_*} \right)^{0.96} \left(\frac{w}{h} \right)^{1.25} hu_*$
11	توکلی زاده و کاشفی پور (2007)	$D_L = 7.428 + 1.775 \left(\frac{u}{u_*} \right)^{1.752} \left(\frac{w}{h} \right)^{0.62} hu$
12	کاشفی پور و فاکونر (2001)	$D_L = 10.612 \left(\frac{u}{u_*} \right) hu$

جدول 2: محدوده پارامترهای مؤثر در ضریب پخشیدگی

D_L (m ² /s)	U*(m/s)	U(m/s)	H(m)	W(m)	محدوده
1/9	0/0	0/0	0/2	11/9	حداقل
1486/5	0/6	1/7	19/9	711/2	حداکثر
115/3	0/1	0/5	1/5	73/2	میانگین
218/7	0/1	0/4	2/3	106/9	واریانس

شبکه های عصبی مصنوعی

شبکه عصبی یک مدل غیرخطی پیشرفته ریاضی می باشد که برای شبیه سازی و پیش بینی فرایندهای پیچیده که مبنی بر تبیین ارتباط بین ورودی ها و خروجی ها است توسعه داده است در بیشتر مسائل پیچیده یاضی که به حل یک معادله پیچیده غیرخطی منجر می شود استفاده از یک شبکه عصبی می تواند جایگزین گردد ولی نکته مورد توجه این است که ساختار، توابع انتقال و فعال سازی مناسبی برای مدل شبکه عصبی در نظر شود (جورابیان و هوشمند، ۱۳۸۴). در این نوع شبکه ها از یک لایه ورودی جهت اعمال ورودی های مسئله یک لایه پنهان و یک لایه خروجی که نهایتاً پاسخ های مسئله را ارائه می نمایند، استفاده می شود. گره هایی که در لایه ورودی هستند، نرون های حسی و گره های لایه خروجی، نرون های پاسخ هستند. در لایه پنهان نیز، نرون های پنهان وجود دارند. آموزش این گونه شبکه ها معمولاً با روش پس انتشار خطاب انجام می شود. نمونه ای از یک شبکه پرسپترون چند لایه در زیر نمایش داده شده است (شکل (3)).

شکل 3: ساختار پرسپترون چند لایه با نرون های پنهان $tansig$ و نرون های خروجی با تابع خطی (مصطفی کیا، ۱۳۹۱).

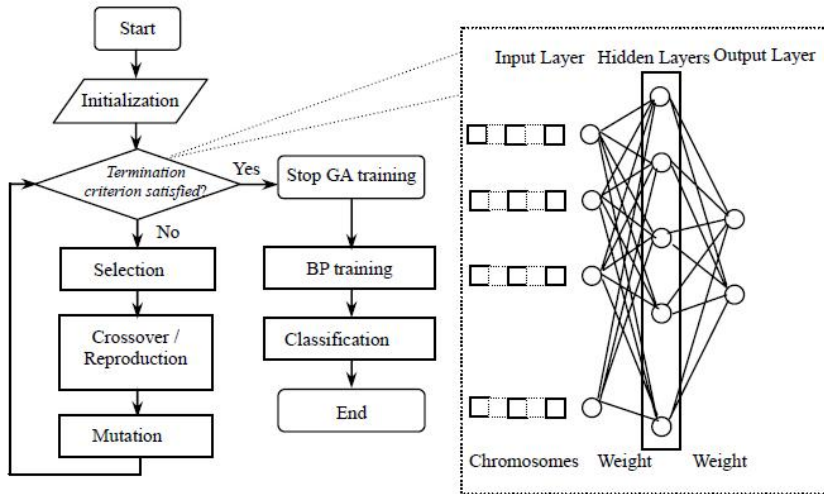
شبکه‌های پرسپترون چند لایه می‌توانند با هر تعداد لایه ساخته و به کار گرفته شوند، ولی قضیه‌ای که ما در اینجا بدون اثبات می‌پذیریم بیان می‌کند که یک شبکه پرسپترون سه لایه قادر است هر نوع فضای را تفکیک کند.

الگوریتم ژنتیک

الگوریتم ژنتیک بر پایه نظریه تکامل در طبیعت بنا شده است. الگوریتم ژنتیک که گونه‌ای از الگوریتم‌های تکاملی است. نخستین بار توسط جان هلند در دانشگاه میشیگان هلند در رساله‌ای با عنوان "تطابق در طبیعت و سیستمهای مصنوعی"، معرفی شد. مبانی ریاضی و مفاهیم اصلی روش الگوریتم ژنتیک، شامل عملگرهای سه گانه انتخاب، ادغام و جهش پرداخت. استوار است. اولین مرحله در الگوریتم تولید یک نسل یا همان تولید مثل می‌باشد. بعد از تولید مثل، کروموزوم‌هایی که دارای شایستگی بیشتری هستند انتخاب می‌گردند. برای انتخاب کروموزوم‌هایی با شایستگی بالا روش‌های مختلفی وجود دارد. پس از مرحله انتخاب، نوبت به مرحله ادغام میرسد. عملگر انتخاب مقداری از دو کروموزوم بطور تصادفی انتخاب کرده در نقاطی که بطور اتفاقی از دو رشته انتخاب می‌شود جابجا می‌کند. احتمال ادغام دو کروموزوم در این مرحله توسط نرخ ادغام کنترل می‌شود. آخرین مرحله در تولید نسل جدید، عمل جهش می‌باشد. این عمل برای حفظ اطلاعات قبلی و اجتناب از نقاط بهینه موضعی می‌باشد. امکان جهش هر جزء از یک کروموزوم، مستقل از سایر جزء‌های یک رشته از کروموزوم‌ها می‌باشد، بدین معنی که برای هر یک از جزء‌ها یک عدد تصادفی تولید شده و چنانچه این عدد از نرخ جهش کوچکتر باشد آن جزء تغییر می‌کند و در غیر این صورت دست نخورده باقی می‌ماند. این فرآیند بطور متناوب تکرار می‌شود تا بهترین نتیجه عاید گردد.

فلوچارت مدل

یک شبکه عصبی مصنوعی چند لایه که به صورت مخفف با MLP نمایش داده می‌شود از ترکیب واحدهایی به نام نرون که در شکل (3) نشان داده شده است، تشکیل می‌گردد. ورودی این نرون در ضرایب وزنی ضرب شده و سپس با یک عدد ثابت که بایاس نامیده می‌شود جمع می‌گردد. نتیجه نیز از یک تابع خطی (یا غیرخطی) عبور می‌کند تا خروجی ساخته شود. این ضرایب وزنی و بایاس‌ها که اعداد ثابتی هستند که در فرآیند توسعه شبکه و با استفاده از الگوریتم‌های کلاسیکی مانند پس انتشار و یا گرادیان کاهشی محاسبه می‌شوند. لذا می‌توان تعیین کردن مقدار بهینه این ضرایب را یک مسئله بهینه سازی دانست. از روش‌های پرقدرتی مانند الگوریتم ژنتیک برای حل این مسائل می‌توان کمک گرفت. شکل (4) فلوچارت پروسه بهینه سازی ضرایب وزنی و بایاس‌های شبکه عصبی چندلایه را با الگوریتم بهینه سازی نشان می‌دهد.



شکل 4: بهینه سازی شبکه عصبی با الگوریتم ژنتیک

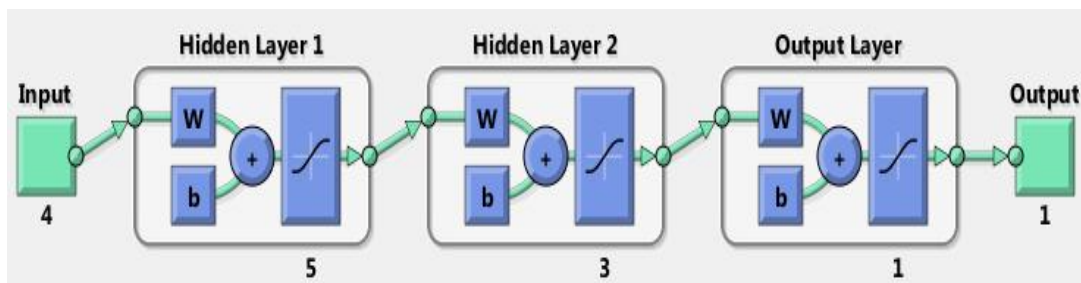
بحث و نتایج

ابدا به ارزیابی روابط تجربی کلاسیکی که برای محاسبه ضریب پخش ارائه شده پرداخته شده است، برای ارزیابی این روابط از داده هایی که در مقالات مرتبط منتشر شده در مجلات معتبر استفاده شده است تعداد داده ها حدود 150 عدد بوده است. نتایج حاصل از ارزیابی فرمول های تجربی در شکل های (5) و (6) و مشخصات آماری (شاخص های خطای-معادله (5)) مربوط به دقت آنها آن در جدول (3) آورده شده است. همانطور که مشاهده می شود در بهترین حالت رابطه کاشفی پور و توکلی زاده دقتی برابر $R^2 = 0.77$ و بقیه روابط نیز دارای دقتی به مراتب کمتر می باشد. کمترین دقت مربوط به رابطه شماره (2) می باشد. نتایج این رابطه به علت سیار پرت بودن فقط در جدول (3) آورده شده است. برای پیش بینی با دقت بیشتر ضریب پخشیدگی شبکه عصبی چند لایه با پنج نرون در لایه اول و سه نرون در لایه دوم توسعه داده شده است (شکل (5)). ورودی های این مدل همان پارامترهای بی بعدی است که در مرحله آنالیز ابعادی استخراج شده و در معادله شماره (4) آورده شده است. توابع فعال سازی برای هر نرون tansig در نظر گرفته شده است به دو دلیل یکی براساس گزارشات و مقالات ذکر شده در قسمت مروری بر تحقیقات اینتابع عملکرد بسیار مناسبی در پیش بینی فرایندهای هیدرولوژیکی داشته است و دیگری بر اساس سعی و خطایی که در مرحله توسعه و معماری شبکه انجام شد از بین توابع موجود در نرم افزار Matlab این تابع دارای بهترین دقت بوده است. توسعه این مدل (مقدارگیری ضرایب وزنی و بایاس ها) با استفاده از همان داده های جمع آوری شده انجام شده است. از تعداد 150 داده مورد استفاده 80 درصد برای آموزش شبکه و 20 درصد بقیه نیز برای صحت سنجی و آزمایش استفاده شده است. این شبکه با استفاده از روش کلاسیک مارکوات لونبرگ آموزش دیده که نتایج و عملکرد آن در شکل های (9) و (8) و محاسبات مربوط به مشخصات آماری (شاخص های خطای) آن در جدول (4) آورده شده است. از مقایسه نتایج این مدل با نتایج روابط تجربی مشخص می گردد که مدل توسعه داده شده دارای دقتی به مراتب بهتری می باشد ($R_{Train}^2 = 0.9, R_{Test}^2 = 0.8$). برای افزایش دقت و کارایی مدل

شبکه عصبی توسعه دو رهیافت می‌تواند مد نظر قرار گیرد که عبارتند از افزایش ساختار مدل (افزایش تعداد لایه‌ها و افزایش تعداد نرون‌ها در هر لایه) و یا تعیین مقدار بھینه ضرایب مورد استفاده در ساختار مدل توسعه داده شده. رهیافت اول همراه با افزایش حجم محاسبات و افزایش پیچیدگی مدل همراه است ولی رهیافت دوم منطقی تر به نظر می‌رسد. مدل داده شده را بجای آموزش با الگوریتم‌های کلاسیک لونبرگ مارکوات با الگوریتم ژنتیک آموزش داده و نتایج مدل توسعه داده شده را دوباره بررسی نموده. منظور از آموزش شبکه عصبی با الگوریتم ژنتیک تعیین دوباره همان ضرایب وزنی و بایاس‌های مورد استفاده در هر نرون می‌باشد. تعداد ضرایب وزنی نرون‌ها همراه با تعداد بایاس‌های مربوطه در ساختار شبکه عصبی توسعه داده شده برابر ۳۷ می‌باشد. این تعداد برابر با تعداد بعد مسئله ۳۷ می‌باشد که باید با الگوریتم ژنتیک حل شود. بنابراین در توسعه این مدل حل یک مسئله بھینه سازی که تعداد بعد آن برابر در حل این مسئله بھینه سازی کاهش خطای بین نتایج مدل و دادهای مشاهداتی (معیار کاهش خطای شاخص خطای MSE) می‌باشد.

شکل (10) روند آموزش مدل شبکه عصبی و کاهش خطای بین داده‌های مشاهداتی و مدل شبکه عصبی را نشان می‌دهد. نتایج مدل شبکه عصبی بھینه شده در شکل‌های (11) و (12) و محاسبه شاخص‌های خطای در جدول (5) آورده شده است ().

مقایسه دو جدول (4) و (5) مربوط به نتایج مدل شبکه عصبی کلاسیک و بھینه شده نشان می‌دهد که آموزش این مدل شبکه عصبی بدون تغییری در تعداد نرون و یا تعداد لایه‌ها می‌تواند حدود ۱۹ درصد دقت مدل شبکه عصبی را افزایش دهد.



شکل ۵: ساختار شبکه عصبی توسعه داده شده

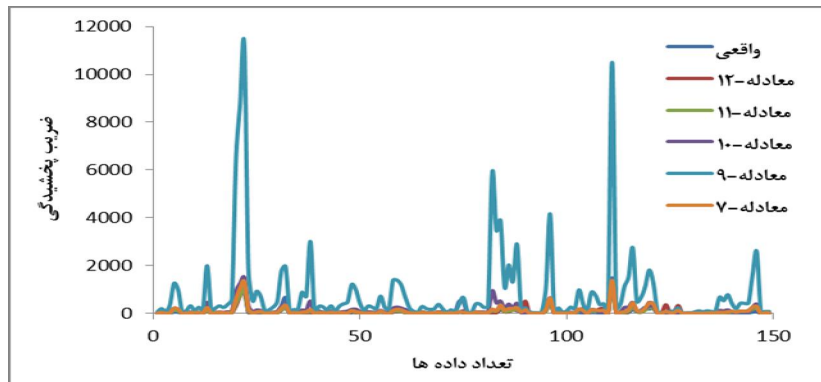
$$R^2 = 1 - \left[\frac{\sum_{i=1}^N (D_{L_i(model)} - D_{L_i(actual)})^2}{\sum_{i=1}^N (D_{L_i(actual)})^2} \right] \quad (5)$$

$$RMSE = \left[\frac{\sum_{i=1}^N (D_{L_i(model)} - D_{L_i(actual)})^2}{N} \right]^{1/2}$$

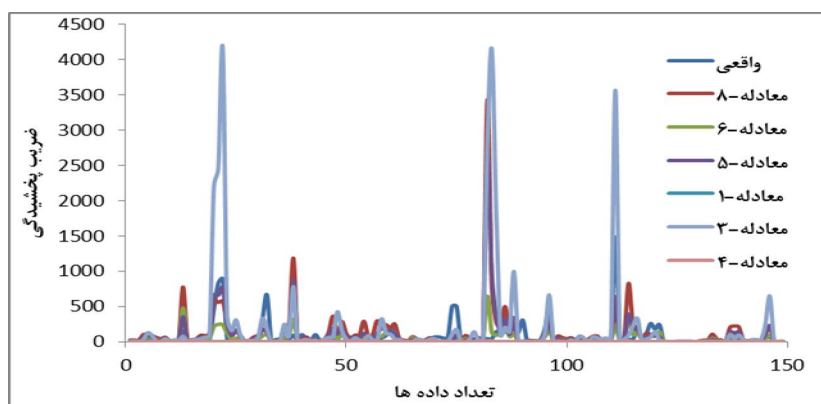
جدول ۳: نتایج محاسبه شاخص‌های خطاب برای فرمولهای تجربی

معادله-۶	معادله-۵	معادله-۴	معادله-۳	معادله-۲	معادله-۱	معادلات	
R^2							
0/15	0/11	0/03	0/4	0/00	0/05	672	$RMSE$
574	904	672	1976	3565969			

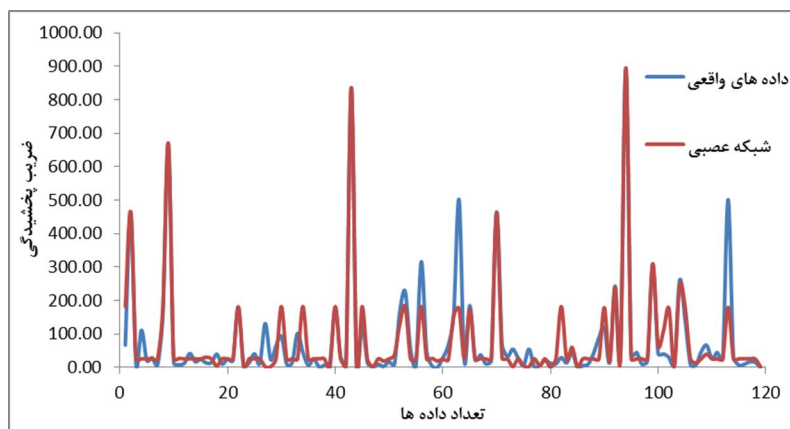
معادله-۱۲	معادله-۱۱	معادله-۱۰	معادله-۹	معادله-۸	معادله-۷	معادلات	
R^2							
0/69	0/77	0/62	0/65	0/04	0/76	336	$RMSE$
345	298	528	5801	1152			



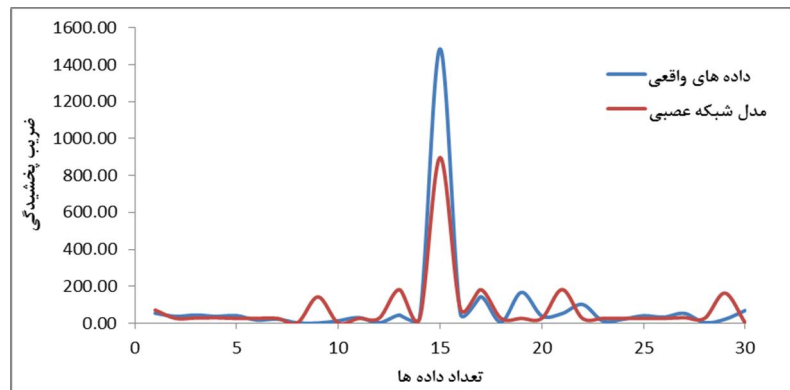
شکل ۶: نتایج فرمولهای تجربی محاسبه ضریب پخش



شکل ۷: نتایج فرمولهای تجربی محاسبه ضریب پخش



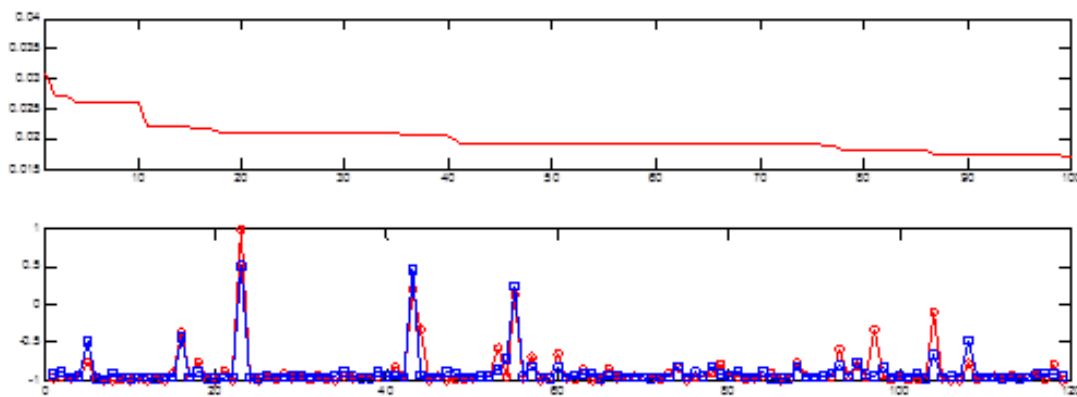
شکل 8: عملکرد شبکه عصبی در مرحله آموزش



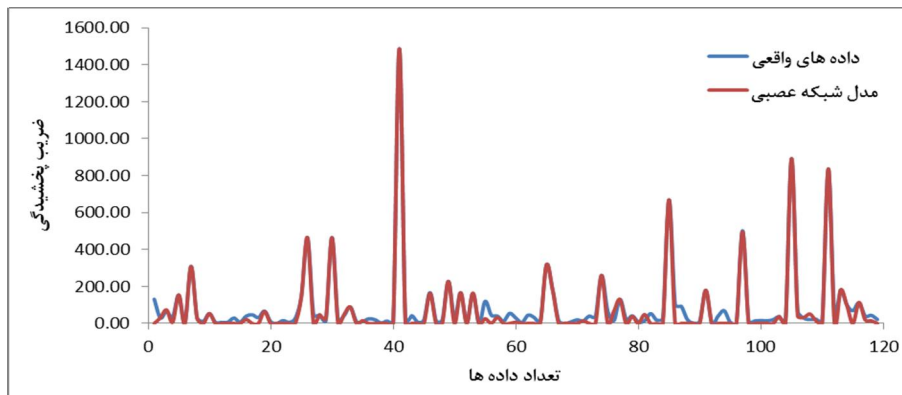
شکل 9: عملکرد شبکه عصبی در مرحله سخت سنجی و آزمایش

جدول 4: محاسبه پارامترهای نتیج شبکه عصبی کلاسیک

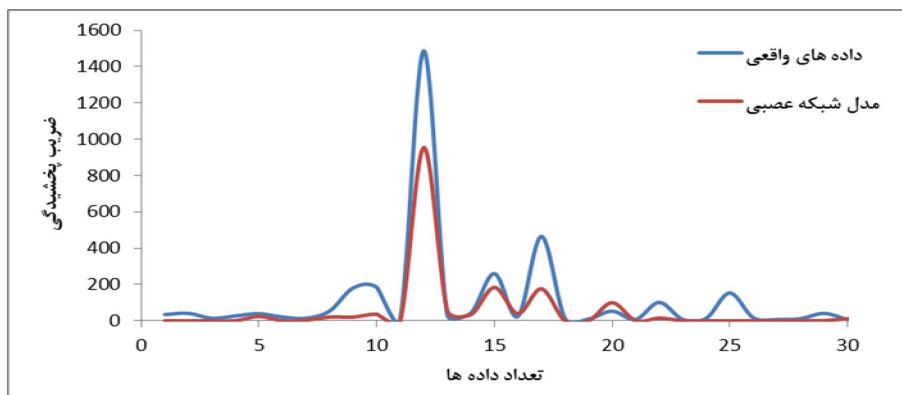
	$RMSE$	R^2	مرحله
آموزش	56	90/8	
ارزیابی	123/8	80/8	



شکل ۱۰: کاهش خطای مدل سازی با استفاده از مدل الگوریتم ژنتیک



شکل ۱۱: عملکرد شبکه عصبی بهینه شده در مرحله آموزش



شکل ۱۲: عملکرد شبکه عصبی بهینه شده در مرحله سخت سنجی و آزمایش

جداول ۵: محاسبه پارامترهای نتیج شبکه عصبی کلاسیک

$RMSE$	R^2	مرحله
29/16	98	آموزش
124	95	ارزیابی

نتیجه گیری کلی

فرایند پخشیدگی آلودگی در رودخانه‌ها بسیار پیچیده است و اندازه گیری این ضریب مستلزم صرف هزینه زیاد می‌باشد. فرمولهای تجربی نیز به علت عدم دقت مناسب آنها در محاسبه این ضریب کارایی مناسی نداشته و در تصمیم‌های مدیریتی مربوز به کیفیت آب رودخانه‌ها نمی‌توان به نتایج آن‌ها اعتماد نمود. به همین دلیل استفاده از مدل‌های هوش مصنوعی مانند انواع شبکه‌های عصبی در جهت پیش‌بینی این ضریب مناسب می‌باشد. از نکته‌های مورد توجه در بکارگیری شبکه عصبی می‌توان به تعداد مناسب عوامل ورودی و خروجی، نوع مناسب شبکه عصبی مصنوعی و هم‌چنین آموزش مناسب و بهینه آن می‌توان اشاره نمود. رهیافت این پژوهش توسعه شبکه عصبی با ساختار چند لایه به عنوان پردکاربرد ترین نوع از انواع مدل‌های شبکه عصبی بوده است. در مورد تعداد نرون‌های لایه پنهان نمی‌توان قانون مشخصی را ارائه داد و تعداد مناسب آن‌ها با آزمون و خطا و تجربه شخص طراح این شبکه مشخص می‌شود. کارایی و دقت مدل‌های هوش مصنوعی را می‌توان افزایش داد به این صورت که بجای گسترش ابعاد شبکه عصبی (تعداد نرون و یا تعداد لایه) و آموزش آن با الگوریتم کلاسیکی مانند لونبرگ مارکوات، آموزش این مدل را با الگوریتم های فرالبتکاری مانند الگوریتم ژنتیک انجام داده و بدون افزایش در ساختار مدل دقت آن را افزایش داد. در این تحقیق برای تخمین دقیق ضریب پخشیدگی آلودگی از مدل شبکه عصبی استفاده شده است که دارای دو لایه بوده و در لایه اول پنج نرون و در لایه دوم سه نرون در نظر گرفته شده است آموزش این شبکه با استفاده از دو مدل لونبرگ مارکوات و الگوریتم ژنتیک انجام شده؛ که مقایسه نتایج حاصل از ارزیابی مدل شبکه عصبی بهینه شده نشان می‌دهد که استفاده از الگوریتم ژنتیک در مراحل آموزش، می‌تواند دقت مدل را تا حدود ۱۹ درصد افزایش یابد.

منابع

- اکبر زاده، ع.، نوری، ر.، فرخ نیا، ا.، خاکپور، ا.، و صباحی، م. س. (1389). تحلیل دقت و عدم قطعیت مدل های هوشمند در پیش بینی ضریب انتشار طولی رودخانه ها. مجله آب و فاضلاب، ص. 99-107.
- ایزدی نیا، ا.و عابدی کوبایی، ج. (1389). تعیین ضریب پراکندگی طولی در رودخانه ها. مجله تحقیقات منابع آب، ۷(۱)، ص. 59-66.
- البرزی، م. (1380). آشنایی با شبکه های عصبی مصنوعی. مؤسسه انتشارات علمی. تهران.
- پارسائی، ع.، احمدی، م.، و قادری، ک. (1392)، شبیه سازی عددی انتشار آلوگی در رودخانه ها بوسیله توسعه همزمان روش عددی حجم محدود و مدل شبکه عصبی تطبیقی مجله علوم و مهندسی آب، شماره ۴، ص. 97-119.
- پور آباده ای، م.، امیری نکلданی، ا؛ و لیاقت، ع. (1386)، بررسی تأثیر پارامترهای جریان بر ضریب پخش عرضی آلوگی در یک کanal مستطیلی، ششمین کنفرانس هیدرولیک ایران، شهرکرد، ص. 78-87.
- پور آباده ای، م.، تکدانی، ا.م.و لیاقت، ع. (1384). بررسی پارامترهای جریان بر ضریب آلوگی در کanal های مستطیلی. پنجمین کنگره بین المللی مهندسی عمران. مشهد. ۱۳ اردیبهشت ماه. دانشگاه فردوسی مشهد. مشهد، ایران. ص. 45-65.
- پور مقدم، م.و کوچک زاده، ص. (1388)، بررسی تأثیر شبیط طولی بر ضریب اختلاط عرضی با روش جدید عکس برداری هوایی. هشتمین کنفرانس هیدرولیک ایران، دانشگاه تهران.ص. 67-69.
- پور مقدم، م. و کوچک زاده، ص. (1389). مطالعه اثر زبری بستر بر ضرایب انتشار و پخشیدگی مواد محلول در مقاطع مرکب، پنجمین کنگره ملی مهندسی عمران، مشهد.ص. 45-56.
- حسینی، ج.، ابریشمی، س. م. (1384). اصول جریان در مجاری روباز انتشارات استان قدس رضوی.ص. 56-59.
- رضائی ع.ر، و رنجبران، س. (1386). آموزش کاربردی الگوریتم ژنتیک در نرم افزار Matlab: انتشارات آذر-کتاب پدیده، تهران.ص. 34-47.
- رباحی مدوار، ح.، و ایوب زاده، س. ع (1387). تخمین ضریب پراکندگی طولی آلوگی با استفاده از سیستم استنتاج فازی_عصبی انطباقی، نشریه آب و فاضلاب، 34.ص. 34-46.
- جورابیان، م. و هوشمند، ر. (1380). منطق فازی و شبکه های عصبی (مفاهیم و کاربرد انتشارات دانشگاه شهید چمران، اهواز.ص. 34-65).
- کیا، س.م. (1391). محاسبات نرم در نرم افزار Matlab. انتشارات کیان رایانه سبز، ص 621.
- مصطفیان شوشتاری، م. (1388). اصول جریان در مجاری روباز انتشارات دانشگاه شهید چمران اهواز.دو جلد.
- نظام آبادی، ح. (1389). الگوریتم و راثتی مفاهیم پایه و مباحث پیشرفته انتشارات دانشگاه شهید باهنر کرمان.ص. 34-45.
- Atkinson, T. C. and Davis, P. M .(1999).** Longitudinal dispersion in natural channels: 1. Experimental results from the River Severn, U.K. Hydrol. Earth Syst. Sci., 4(3):pp. 345-353.

- Azamathulla, H. and Ghani ,A. (2011).** Genetic Programming for Predicting Longitudinal Dispersion Coefficients in Streams. Water Resources Management ,25(6): pp.1537-1544.
- Davis, P. M. and Atkinson ,T. C. (1999).** Longitudinal dispersion in natural channels: 3. An aggregated dead zone model applied to the River Severn, U.K. Hydrol. Earth Syst. Sci. 4(3) pp.373-381.
- Davis, P. M., Atkinson ,T. C. and Wigley ,T. M. L. (1999).** Longitudinal dispersion in natural channels: 2. The roles of shear flow dispersion and dead zones in the River Severn, U.K.. Hydrol. Earth Syst. Sci. 4(3):pp. 355-371.
- Deng, Z., Bengtsson, L., Singh V. and Adrian, D. (2002).** Longitudinal Dispersion Coefficient in Single-Channel Streams. Journal of Hydraulic Engineering 128(10),pp. 901-916.
- Deng, Z., Singh, V.and Bengtsson, L. (2001).** Longitudinal Dispersion Coefficient in Straight Rivers. Journal of Hydraulic Engineering 127(11),pp. 919-927.
- Etemad-Shahidi, A. and Taghipour, M. (2012).** "Predicting Longitudinal Dispersion Coefficient in Natural Streams Using M5' Model Tree." Journal of Hydraulic Engineering 138(6),pp. 542-554.
- Fuat TopraK, Z. and Emin savcl, M. (2004).**Predicting Longitudinal Dispersion Cofficient in Natural Streams using Fuzzy logic. confrance of Hydrology Istanbul Turkey,pp.54-78.
- Kashefipour, S. M. and A. Falconer, R. (2002).** Longitudinal dispersion coefficients in natural channels. Water Research 36(6),pp. 1596-1608.
- Riahi-Madvar, H., Ayyoubzadeh, S. Khadangi ,A. E. and Ebadzadeh ,M. M. (2009).** An expert system for predicting longitudinal dispersion coefficient in natural streams by using ANFIS. Expert Systems with Applications, 36(4),pp. 8589-8596.
- Sahay, R. (2011).** Prediction of longitudinal dispersion coefficients in natural rivers using artificial neural network. Environmental Fluid Mechanics ,11(3),pp. 247-261.
- Seo, I. and Baek, K. (2004).** Estimation of the Longitudinal Dispersion Coefficient Using the Velocity Profile in Natural Streams. Journal of Hydraulic Engineering ,130(3),pp. 227-236.
- Seo, I. and Cheong, T. (1998).** "Predicting Longitudinal Dispersion Coefficient in Natural Streams." Journal of Hydraulic Engineering ,124(1): 25-32.
- Seo, I. and Cheong ,T. (2001).** Moment-Based Calculation of Parameters for the Storage Zone Model for River Dispersion. Journal of Hydraulic Engineering ,127(6),pp. 453-465.
- Shen, C., J., Niu, E. Anderson ,J. and Phanikumar ,M. S. (2010).** Estimating longitudinal dispersion in rivers using Acoustic Doppler Current Profilers. Advances in Water Resources, 33(6),pp. 615-623.

Tayfur, G. and Singh ,V. (2005). Predicting Longitudinal Dispersion Coefficient in Natural Streams by Artificial Neural Network. *Journal of Hydraulic Engineering*, 131(11),pp. 991-1000.

Toprak, Z. F. and H. K. Cigizoglu (2008). Predicting longitudinal dispersion coefficient in natural streams by artificial intelligence methods. *Hydrological Processes*, 22(20),pp. 4106-4129.